

динамическим методом без болюса. Предварительно радиохромная пленка была откалибрована на протонном пучке различной дозой с шагом 0,25 Гр. После облучения пленка была отсканирована на сканере и дозовое распределение восстановлено в цифровом виде. Более подробно с методикой работы с радиохромной пленкой можно ознакомиться в работе [6]. Результаты эксперимента представлены на рис. 4.

Сравнение дозовых распределений при разных методах облучения показывает отсутствие «хвостов» переоблучения на второй и третьей пленках. На это указывают графики попечного профиля пучка на проксимальной границе мишени. На первом профиле видно наличие хвостов с уровнем дозы около 100 % по обоим краям плато. На втором и третьем графике хвосты отсутствуют, уровень дозы плато – около 90 %. Уровень гомогенности дозы в медианной плоскости мишени по профилю пучка составил не более  $\pm 5\%$  во всех трех случаях. Дистальный спад дозы по уровню 20...80 % составил: для первого распределения – 1,2 см; для второго – 1,3 см; для третьего – 1,1 см. Значения латерального спада дозы по уровню 20...80 % в области расположения мишени составили: для первого распределения – 0,8 см; для второго – 0,9 см; для третьего – 1 см.

В третьем дозовом распределении при облучении мишени динамическим методом без использования болюса присутствует область дозы на уровне 80...95 % за дистальной границей мишени, что говорит о меньшей степени конформности по сравнению с методами облучения с применением болюса. Значение латеральных и дистального градиентов спада дозы сравнимы во всех трех случаях и указывают на примерно одинаковое качество сформированных полей. Полученные при помощи радиохромных пленок распределения удовлетворительно воспроизводят запланированное распределение дозы.

## Заключение

Результаты эксперимента подтвердили, что разработанная методика динамического облучения способна устраниć «хвосты» переоблучения, возникающие при использовании стандартной пассивной трехмерной терапии в МТК, и улучшить степень конформности при облучении с одного направления. Динамический метод упрощает предлучевую подготовку к облучению, так как нет необходимости в изготовлении индивидуальных фигурных коллиматоров и, в некоторых случаях, болюсов. Также экспериментальная проверка показала работоспособность всей системы динамического облучения, ее точность и простоту в эксплуатации.

Разработанные замедлитель переменной толщины и многолепестковый коллиматор являются универсальными устройствами. Помимо метода динамического облучения, их можно применить в системе формирования пучков при стандартном методе трехмерной конформной терапии.

Дальнейшая разработка динамического метода облучения в МТК заключается в создании полноразмерного МЛК, проведении дополнительных дозиметрических измерений с использованием антропоморфного фантома и внедрении нового метода в практику протонной радиотерапии.

## Список литературы:

1. Агапов А.В. и др. Методика трехмерной протонной лучевой терапии // Письма в ЭЧАЯ. 2005. Т. 2. № 6 (129). С. 80-86.
2. Воробьев Н.А. и др. Возможности протонной терапии. Клинические аспекты // Русский медицинский журнал. 2017. № 16. С. 1175-1180.
3. Агапов А.В., Мицын Г.В., Шипулин К.Н. Автоматизированный замедлитель переменной толщины для протонной терапии // Медицинская техника. 2016. № 4. С. 39-41.
4. Агапов А.В. Многолепестковый коллиматор для протонной лучевой терапии / Патент RU 2499621 C2 от 29.02.2012.
5. Agapov A.V., Borowicz D.M., Mitsyn G.V., Shipulin K.N. Verification of Homemade TPS Using Radiochromic Films // Int. J. Part. Ther. 2016. Vol. 3 (1). P. 209.
6. Borowicz D., Malicki J., Mytsin G., Shipulin K. Dose distribution at the Bragg peak: Dose measurements using EBT and RTQA gafchromic film set at two positions to the central beam axis // Med. Phys. 2017. Vol. 44. PP. 1538-1544.

Алексей Валерьевич Агапов,

научный сотрудник,

Геннадий Валентинович Мицын,

канд. техн. наук, начальник,

НХП «Отдел фазotronа»,

Объединенный институт

ядерных исследований,

г. Дубна,

e-mail: agarov@jinr.ru

**Н.А. Словеснов, С.Ф. Мирсаитов, В.В. Светличный**

## Контроль стерильности оборудования асептического производства

### Аннотация

Рассмотрены существующие методы стерилизации оборудования посредством пара под давлением, а также методы подтверждения стерильности оборудования. Предложены метод определения стерильности на основе критерия летальности и структурная схема информационно-измерительной системы, необходимой для проведения безразборной стерилизации оборудования.

### Введение

Стерильное оборудование – это первый шаг к асептическому производству. Если оборудование нестерильно или невозможно доказать его стерильность, то речи об асептическом производстве лекарственных средств быть не может.

Стерилизация (иногда – деконтаминация) – освобождение какого-либо предмета или материала от всех видов микроорганизмов (включая бактерии и их споры, грибы, вирусы и прионы) либо их уничтожение.

Стерилизация (sterilization) – валидированный процесс освобождения продукта от всех форм жизнеспособных микроорганизмов [1].

При стерилизации процесс отмирания микроорганизмов описывается экспоненциальным законом. Следовательно, наличие жизнеспособных микроорганизмов на каждом отдельном изделии может быть выражено в терминах вероятности. Эта вероятность может быть снижена до очень малых чисел, но никогда не может быть доведена до нуля.

Для возможности использования технологического обору-

дования в процессе асептического производства необходимо провести его стерилизацию. В большинстве случаев для данной цели применяют один из видов термической стерилизации.

Термическая стерилизация – это нагрев и выдержка при определенных температурах, которые в течение определенного времени вызывают гибель вегетативных клеток микроорганизмов и их спор.

Стерилизация на месте (sterilization in place, SIP) – метод стерилизации внутренних поверхностей оборудования или всей системы «на месте» без ее разборки с применением стерилизующих средств, в качестве которых обычно используют пар под давлением [2], [3].

Процесс стерилизации паром под давлением представляет собой подачу сухого, насыщенного и неперегретого пара, который используется в качестве стерилизующего средства, в оборудование таким образом, чтобы пар контактировал с рабочими поверхностями технологического оборудования, контактирующими впоследствии с лекарственным средством. Данный процесс состоит из нескольких фаз. Количество этих фаз зависит от метода стерилизации паром под давлением. Стерилизация паром под давлением может проводится двумя методами:

- гравитационный метод (удаление воздуха путем вытеснения его паром);
- метод с вакуумированием (удаление воздуха при помощи вакуумного насоса) [4].

Удаление воздуха из системы необходимо для обеспечения полноценного контакта пара с рабочими поверхностями оборудования, а также для предотвращения конденсации пара в оборудовании во время процесса стерилизации [3].

При использовании гравитационного метода процесс стерилизации состоит из трех фаз (рис. 1):

- 1) **фаза нагрева.** На этой стадии в оборудование подается насыщенный пар, при этом удаляется воздух и происходит нагрев поверхности оборудования;
- 2) **фаза выдержки.** Начало этой фазы определяется по значению температуры и давления. При достижении заданной температуры обеспечивается ее поддержание в течение заданного времени путем периодической подачи насыщенного пара;
- 3) **фаза охлаждения.** В этой фазе в оборудование подается чистый (фильтрованный) сжатый воздух для охлаждения поверхностей оборудования.

Типовой график температуры и давления при таком методе имеет вид, представленный на рис. 1.

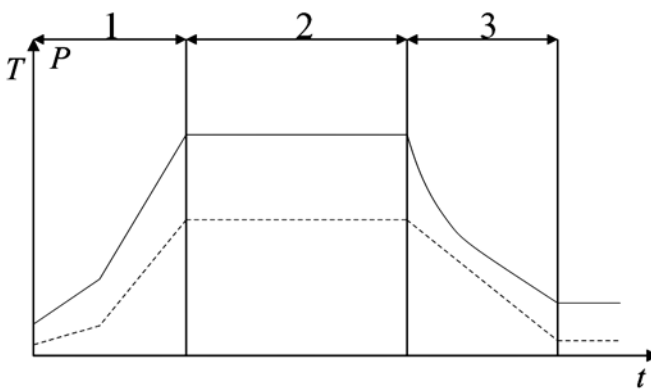


Рис. 1. Профиль температуры и давления при процессе стерилизации гравитационным методом:  $T$  – ось температур;  $P$  – ось давлений;  $t$  – ось времени; (—) – температура насыщенного пара; (---) – давление насыщенного пара; 1 – фаза нагрева; 2 – фаза выдержки; 3 – охлаждения

При использовании метода с вакуумированием процесс стерилизации состоит из шести фаз (рис. 2):

- 1) **фаза удаления воздуха.** Происходит удаление воздуха при помощи вакуумирующих устройств;

- 2) **фаза нагрева.** На этой стадии в оборудование подается насыщенный пар, при этом удаляется воздух и происходит нагрев поверхности оборудования;
- 3) **фаза выдержки.** Начало этой фазы определяется по значению температуры и давления. При достижении заданной температуры обеспечивается ее поддержание в течение заданного времени путем периодической подачи насыщенного пара;
- 4) **фаза удаления пара.** Происходят сброс пары и вакуумирование до определенной глубины;
- 5) **фаза сушки.** Путем поддержания определенной глубины вакуума достигается сушка поверхностей оборудования;
- 6) **фаза сброса вакуума.** В этой фазе в оборудование подается чистый (фильтрованный) сжатый воздух [1].

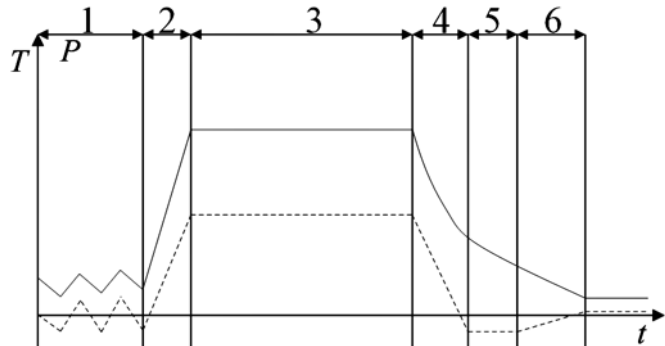


Рис. 2. Профиль температуры и давления при процессе стерилизации с вакуумированием:  $T$  – ось температур;  $P$  – ось давлений;  $t$  – ось времени; (—) – температура насыщенного пара; (---) – давление насыщенного пара; 1 – фаза вакуумирования; 2 – фаза нагрева; 3 – фаза выдержки; 4 – фаза удаления пара; 5 – фаза сушки; 6 – фаза сброса вакуума

Для стерилизации на месте (SIP) оборудования обычно используют гравитационный метод, так как технологически и физически он менее затратный.

## Материалы и методы

После окончания процесса стерилизации необходимо понять, успешно ли завершен этот процесс или же оборудование осталось нестерильным. Для подтверждения и контроля стерильности существует несколько методов [5], [6]:

- 1) **химические индикаторы.** Это вещества, которые при выдержке определенного температурного режима изменяют свой цвет или агрегатное состояние. Соответственно, если после процесса стерилизации индикатор поменял цвет на нужный, то цикл завершен успешно;
- 2) **биологические индикаторы.** Биологический индикатор представляет собой препарат из патогенных спорообразующих микроорганизмов с известной высокой устойчивостью к данному типу стерилизационного процесса. Задачей биологических индикаторов является подтверждение способности стерилизационного процесса убивать устойчивые микробные споры. Это наиболее критичный и достоверный тест стерилизационного процесса;
- 3) **физический метод** подтверждения стерилизации заключается в измерении таких параметров, как температура, давление и время стерилизации. Любое отклонение от стандартных режимов стерилизации является сигналом для оператора о вероятном сбое аппарата. Время подбирается экспериментальным путем при периодической квалификации автоматизированных систем управления с использованием химических и биологических индикаторов. В дальнейшем при штатной работе необходимо придерживаться именно такого цикла стерилизации, который был применен при квалификации;
- 4) **аналитический метод.** При этом методе подтверждения стерилизации рассчитывается коэффициент (критерий) летальности  $F_0$ , который показывает, насколько глубоко проведена стерилизация.

Все описанные методы контроля (подтверждения) стерилизации, кроме физического, используются только при проведении периодической квалификации процесса стерилизации оборудования. При проведении этой квалификации подтверждаются режимы (температура и время выдержки) стерилизации при помощи химических и биологических индикаторов и растворов. В режиме производства для подтверждения стерилизации используют лишь физический метод, т. е. контролируют соответствие температуры и времени выдержки тем, которые были утверждены после проведения последней квалификации.

Предлагается рассмотреть возможность контроля проведения процесса стерилизации по критерию летальности  $F_0$  во время производственного цикла.

Критерий летальности  $F_0$  – мера способности тепловой стерилизационной обработки инактивировать микроорганизмы, рассчитанная при температуре 121,1 °C, величине Z, равной 10 °C, и величине D, равной 1 мин [7]. Общепринятой мерой летального воздействия на микроорганизмы во время процесса стерилизации влажным теплом является величина  $F_0$  (время тепловой гибели) [8]. В соответствии с Европейской фармакопеей значение  $F_0$  насыщенного пара в процессе стерилизации – это поражающее действие, выраженное в терминах, эквивалентных времени в минутах при температуре 121,1 °C, т. е. величина  $F_0$  определяется как время, в течение которого достигается такой же стерилизационный эффект, как при референтной температуре 121,1 °C. Для определения  $F_0$  используют следующую формулу расчета:

$$F_0 = dt \sum 10^{\frac{T-121,1}{Z}}, \quad (1)$$

где  $F_0$  – время стерилизации, эквивалентное времени стерилизации при 121,1 °C, мин;  $dt$  – период времени между двумя измерениями температуры, мин;  $T$  – температура в момент времени  $t$ , °C; 121,1 – эталонная температура, °C; Z – Z-число – изменение температуры, необходимое для изменения D-числа на 10, т. е. температура, вызывающая 10-кратное уменьшение концентрации микроорганизмов за 1 мин.

Наиболее широко используется значение Z для разрушения спор влажным теплом, которое составляет 10. Это значение основывается на практических результатах, полученных для таких терморезистентных микроорганизмов, как *Geobacillus stearothermophilus* и *Clostridium botulinum*.

Общее значение  $F_0$  процесса, включающего в себя стадию нагревания и остывания, может быть рассчитано объединением смертельных норм относительно времени в дискретных температурных интервалах. В расчете летальности цикла учитывается весь температурный диапазон, включая время нагрева, охлаждения, а также температурные колебания на стадии выдержки. Учитываются временные интервалы с температурой выше 100 °C, поскольку количество теплоты, полученное при более низких температурах, незначительно и оказывает малое влияние на суммарное  $F_0$  процесса [8].

Исходя из сказанного выше, подтверждение стерилизации аналитическим методом имеет следующие преимущества по сравнению с физическим:

- 1) проводить стерилизацию оборудования возможно не только на определенных (прошедших квалификацию) режимах работы, а соответственно не требуется проводить квалификационные испытания для разных режимов стерилизации, что значительно экономит время и ресурсы;
- 2) при подтверждении стерилизации оборудования аналитическим методом используется критерий  $F_0$  в качестве количественной оценки проведенной стерилизации;
- 3) благодаря расчету критерия  $F_0$  в процессе стерилизации, возможно значительно сократить временные и экономические затраты, так как процесс будет завершен по достижении требуемой величины  $F_0$ .

## Результаты

Исходя из определения  $F_0$  предлагается следующее.

1. Использовать информационно-измерительную систему, построенную по структурной схеме, представленной на рис. 3.

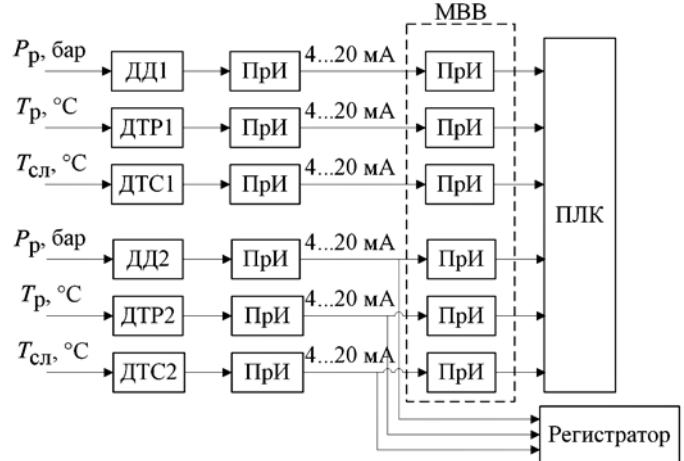


Рис. 3. Структурная схема ИИС:  $P_p$  – давление среды при SIP, бар;  $T_p$  – температура поверхности оборудования, °C;  $T_{сл}$  – температура в нижней точке (на сливе в дренаж), °C; ДД1 – датчик давления контура регулирования; ДТР1 – датчик температуры поверхности оборудования контура регулирования; ДТС1 – датчик температуры нижней точки контура регулирования; ДД2 – датчик давления контура регистрации; ДТР2 – датчик температуры поверхности оборудования контура регистрации; ДТС2 – датчик температуры нижней точки контура регистрации; ПрИ – преобразователь интерфейса; ПЛК – промышленный логический контроллер; МВВ – модуль ввода-вывода ПЛК

Как видно из структурной схемы (рис. 3), разрабатываемая система имеет два контура, в каждый из которых входят три канала измерения: контур регулирования (ДД1, ДТР1, ДТС1) и контур регистрации (ДД2, ДТР2, ДТС2). Каждый канал измерения имеет датчик и преобразователь интерфейса, при помощи которого сигнал от датчика преобразуется в сигнал токовой петли. Все каналы измерения контура регулирования подключены непосредственно к модулю ввода-вывода, который имеет АЦП для преобразования сигнала токовой петли в цифровой, удобный для дальнейшей обработки ПЛК. Каналы контура регистрации при помощи интерфейса токовой петли подключены к ПЛК и к регистратору. На регистраторе ведется запись технологических параметров во время процесса стерилизации с периодом 1 с. Каналы контура регистрации подключены к ПЛК для обеспечения самодиагностики всех измерительных каналов ИИС посредством сравнения сигналов с датчиками, измеряющими один и тот же параметр [9].

2. Производить расчет величины  $F_0$  для контроля и подтверждения успешного завершения процесса стерилизации.

Исходя из представленной выше формулы (1) видно, что мы имеем две переменные величины: период времени, в который фиксируется действующая температура, и само значение температуры. Для обеспечения большей точности измерения в качестве периода времени примем значение 1 с. Но применять в формуле фактические значения температуры, измеряемые с заданным периодом, не совсем верно. В отличие от типовых графиков стерилизации, представленных на рис. 1 и 2, реальный график имеет пики и спады во время фазы выдержки, соответственно фактическая температура в определенный момент может быть не равна температуре выдержки в период времени между измерениями. Исходя из определения величины  $F_0$  нам необходимо знать, какое значение температуры было между точками измерения температуры. Если брать в расчет только фактические значения, то погрешность расчета увеличится. Исходя из этого предлагается определить среднее квадратическое двух последних измерений и использовать его при расчете величины  $F_0$ :

$$T_{cp} = \sqrt{\frac{T_1^2 + T_2^2}{2}}; \quad (2)$$

$$F_0 = dt \sum 10^{\frac{T_{cp}-121,1}{Z}}, \quad (3)$$

где  $T_1$  – температура в момент времени  $t_1$ ;  $T_2$  – температура в момент времени  $t_2$ ;  $T_{cp}$  – среднее квадратичное значение температур  $T_1$  и  $T_2$ .

На рис. 4 представлена функциональная схема определения величины  $F_0$ .

### Заключение

В статье рассмотрены принципы стерилизации паром под давлением, методы подтверждения успешного завершения процесса стерилизации (методы подтверждения стерильности). Выбран метод, при помощи которого обеспечивается определение стерильности в процессе стерилизации без применения биологических и химических индикаторов, использование которых при стерилизации оборудования перед производством невозможно. Определены методы подсчета величины  $F_0$ , по величине которой судят об успешном прохождении процесса стерилизации и соответственно о стерильности температуры. В дальнейшем необходимо определить погрешность расчета критерия  $F_0$  и свести ее к минимуму.

На данный момент в автоматизированных системах контроль фазы выдержки ведется по отсчету времени (физическими методом). В дальнейшем предлагается во время фазы выдержки учитывать не время, а именно критерий летальности  $F_0$ .

### Список литературы:

- ГОСТ Р ИСО 17665-1–2016 (ISO/TS 17665-2:2016) Стерилизация медицинской продукции. Влажное тепло. Часть 1. Требования к разработке, валидации и текущему контролю процесса стерилизации медицинских изделий.
- Agalloco J. Steam Sterilization-in-Place Technology // Journal of Parenteral Science and Technology. 1990. Vol. 44. № 5. P. 253.
- ГОСТ Р ИСО 13408-5–2011 Асептическое производство медицинской продукции. Часть 5. Стерилизация на месте.
- ГОСТ Р 56893–2016 (ISO/TS 17665-2:2009) Стерилизация медицинской продукции. Влажное тепло. Часть 2. Руководство по применению ИСО 17665-1.

- Dion M., Parker W. Steam Sterilization Principles // Pharmaceutical Engineering. 2013. Vol. 33. № 6. PP. 3-5.
- Flickinger M.C. Downstream Industrial Biotechnology: Recovery and Purification. – North Carolina: Wiley, 2013. P. 750.
- Nordhauser F.M., Olson W.P. Sterilization of Drugs and Devices Technologies for the 2000<sup>th</sup>. – London: Taylor & Francis group, 2000. PP. 55-59.
- Paul R.S., Heldman D.R. Introduction to Food Engineering. – Amsterdam: Elsevier, 2009. PP. 435-440.
- Словеснов Н.А., Мирсаитов С.Ф., Светличный В.В. Разработка автоматической системы очистки и стерилизации мобильных реакторов фармацевтического назначения / Материалы конференции «Приоритетные дискуссии XXI века: междисциплинарные исследования современности». 2019. С. 95-98.

Никита Александрович Словеснов,  
аспирант,

Сергей Фаритович Мирсаитов,  
канд. техн. наук, доцент,  
кафедра КБ-6 «Приборы и  
информационно-измерительные системы»,  
ФГБОУ ВО «МИРЭА – Российский  
технологический университет»,  
г. Москва,

Владимир Викторович Светличный,  
ведущий инженер,  
ЗАО «ФармФирма «Сотекс»,  
г. Сергиев Посад,  
e-mail: slovesnnik@gmail.com

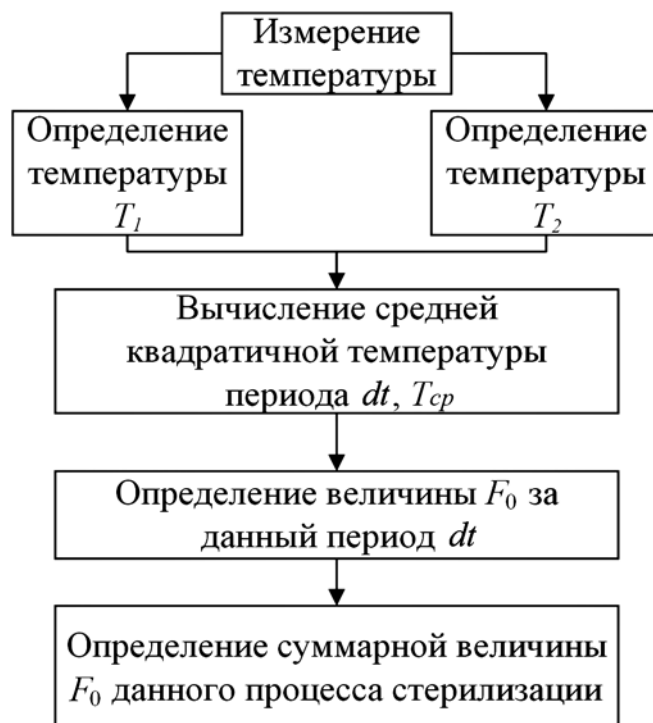


Рис. 4. Функциональная схема определения величины  $F_0$